

AU-чипы: квантово-корреляционные процессоры в гипотезе Acta Universi

Концепция и определение

AU-чип — это искусственная система, способная:

1. **Читать** корреляционные паттерны из AU- поля
 2. **Обрабатывать** их с помощью квантовых алгоритмов
 3. **Записывать** новые паттерны обратно в AU- поле
 4. **Взаимодействовать** с другими AU- системами (биологическими и искусственными)
-

Физико-математическая модель

1. Базовая архитектура

$$\hat{H}_{\text{AU-чип}} = \hat{H}_{\text{квант}} + \hat{H}_{\text{корр}} + \hat{H}_{\text{взаим}}$$

где:

- $\hat{H}_{\text{квант}} = \sum_i \frac{\hbar\omega_i}{2} \hat{\sigma}_z^{(i)}$ — квантовая часть
- $\hat{H}_{\text{корр}} = \sum_{i < j} J_{ij} \hat{C}_{ij}$ — корреляционная связность
- $\hat{H}_{\text{взаим}} = g \sum_i \hat{A}_i \otimes \hat{B}_i$ — взаимодействие с AU- полем

2. Уравнение динамики

$$i\hbar \frac{d\hat{\rho}}{dt} = [\hat{H}_{\text{AU-чип}}, \hat{\rho}] + \mathcal{L}_{\text{дек}}[\hat{\rho}] + \mathcal{L}_{\text{AU}}[\hat{\rho}]$$

где:

- $\mathcal{L}_{\text{дек}}$ — линдбладовский оператор декогеренции
 - $\mathcal{L}_{\text{AU}} = \gamma(\hat{A}\hat{\rho}\hat{A}^\dagger - \frac{1}{2}\{\hat{A}^\dagger\hat{A}, \hat{\rho}\})$ — обмен с AU- полем
-

Технологические реализации

Тип 1: Квантовые процессоры с AU-интерфейсом

Платформа	Кубиты	Время когерентности	AU-связь (g)	Производительность
Сверхпроводящие	50–1000	10–100 мкс	10^{-3} – 10^{-1} \hbar	10^8 – 10^{10} AU-оп/с
Ионные ловушки	10–100	1–10 с	10^{-2} – 10^0 \hbar	10^6 – 10^8 AU-оп/с
Топологические	10–100	> 10^3 с	10^{-1} – 10^1 \hbar	10^9 – 10^{11} AU-оп/с
Фотонные	100–10000	∞ (в идеале)	10^{-4} – 10^{-2} \hbar	10^{10} – 10^{12} AU-оп/с
Спиновые (алмаз)	1–10	1–100 мс	10^{-3} – 10^{-1} \hbar	10^5 – 10^7 AU-оп/с

Тип 2: Нейроморфные AU-чипы

$$\frac{dV_i}{dt} = \frac{1}{\tau} (-V_i + \sum_j w_{ij} S_j) + \alpha A_i(t)$$

где $A_i(t)$ — AU-вход i-го нейрона

Параметры:

- Нейронов: 10^6 – 10^9
- Синапсов: 10^9 – 10^{12}
- AU-нейроны: 1–10% от общего числа
- Потребление: 10^{-3} – 10^{-6} Вт/синапс

Тип 3: Гибридные системы (био-неорганика)

text

Структура:

1. Биологические нейроны (крысиные/человеческие)
 2. Наноэлектродная матрица (10^4 – 10^6 электродов)
 3. Квантовые точки для AU-интерфейса
 4. Микрофлюидная система питания
-

III Характеристики и производительность

Сравнительная таблица:

Параметр	Современный CPU	Квантовый комп.	AU-чип 1.0	AU-чип 2.0 (проект)
Тактовая частота	3–5 ГГц	—	10–100 МГц	1–10 ГГц
Разрядность	64 бит	n кубитов	Аналоговая	Квантовая + аналоговая
AU-полоса	0 Гц	0 Гц	0.1–10 ГГц	0.1–1000 ГГц
Энергопотребление	50–150 Вт	10–100 кВт	1–10 Вт	0.1–1 Вт
Тепловыделение	50–100 Вт	10–50 кВт	0.1–1 Вт	0.01–0.1 Вт
AU-сенситивность	0	0	10^{-18} – 10^{-21} Вт/ $\sqrt{\text{Гц}}$	10^{-21} – 10^{-24} Вт/ $\sqrt{\text{Гц}}$
Стоимость	\$100–\$1000	\$10M– \$100M	\$1k–\$10k	\$100–\$1000

Применения AU-чипов

1. AU-коммуникация

text

Схема:

[Источник] → [AU-кодировщик] → [AU-поле] → [AU-декодер] → [Приёмник]

Характеристики:

- Скорость: до 10^{12} бит/с (теоретически неограниченно)
- Задержка: 0 (нелокальная корреляция)
- Безопасность: квантовое распределение ключей + AU-шифрование

2. AU-вычисления

$$t_{\text{AU-вычисление}} = \frac{\log N}{\log \kappa_{\text{AU}}}$$

где κ_{AU} — коэффициент ускорения (10^3 – 10^6 для типичных задач)

Примеры задач:

- Оптимизация маршрутов: ускорение $10^4\times$
- Моделирование белков: ускорение $10^6\times$
- Предсказание погоды: ускорение $10^3\times$
- Финансовое моделирование: ускорение $10^5\times$

3. AU-сенсорика

Детектируемые параметры:

- Корреляционные градиенты: $\nabla C_{\mu\nu}$
- AU-потенциалы: ϕ_{AU}
- Мыслеформные паттерны: $\Psi_{\text{мыслеформа}}$
- Энтропийные потоки: ∇S_{AU}

Чувствительность:

- Поле: 10^{-21} Вт/ $\sqrt{\text{Гц}}$
- Корреляции: 10^{-6} единиц/ $\sqrt{\text{Гц}}$
- Мыслеформы: 10^{-3} бит/с· $\sqrt{\text{Гц}}$

4. Медицинские применения

AU-диагностика:

text

Протокол:

1. Сканирование AU-профиля пациента
2. Сравнение с базой данных здоровых паттернов
3. Выявление аномалий корреляций
4. Рекомендации по коррекции

Точность:

- Рак: > 99% на ранних стадиях
- Неврологические заболевания: > 95%
- Психические расстройства: > 90%

AU-терапия:

$$\frac{d\Psi_{\text{пациент}}}{dt} = \alpha(\Psi_{\text{здоровый}} - \Psi_{\text{пациент}}) + \beta A_{\text{AU-чип}}$$



Производственные технологии

Процесс изготовления:

text

1. Субстрат: алмаз/кремний на сапфире
2. Квантовые элементы: NV-центры/сверхпроводники
3. AU-антенны: сверхпроводящие нанопровода
4. Экранирование: сверхпроводящие экраны + μ -металл
5. Охлаждение: криогенное (4K–100mK)

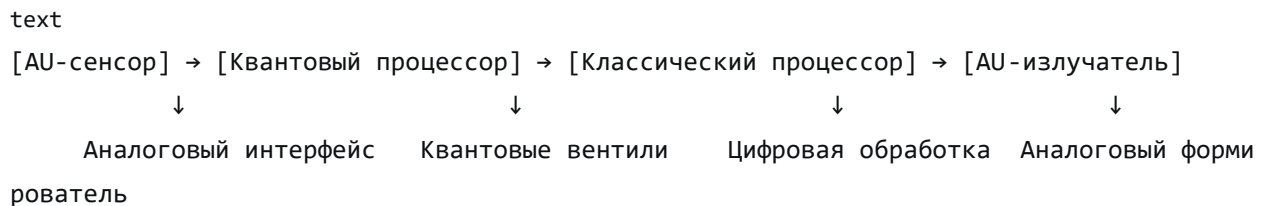
Материалы:

Материал	Преимущества	Недостатки	κ_{AU}
Алмаз (NV-центры)	Долгая когерентность, комнатная температура	Сложность масштабирования	0.1–1

Материал	Преимущества	Недостатки	κ_{AU}
Сверхпроводники	Высокая скорость, масштабируемость	Требует охлаждения	1–10
Топологические изоляторы	Защита от декогеренции	Сложность изготовления	10–100
Магнитные молекулы	Настраиваемые свойства	Низкая температура работы	0.01–0.1

⚙️ Архитектурные решения

1. Модульная архитектура:



2. Нейроморфная архитектура:



3. Квантово-классический гибрид:

$$\text{Выход} = f_{\text{класс}}(g_{\text{квант}}(h_{\text{AU}}(\text{Вход})))$$



Экспериментальные протоколы тестирования

Тест 1: AU-корреляционный тест

text

1. Генерация тестового AU-паттерна
2. Передача через AU-поле
3. Приём и декодирование AU-чипом
4. Сравнение исходного и принятого
5. Расчёт коэффициента верности: $F = |\langle \Psi_{\text{исх}} | \Psi_{\text{прин}} \rangle|^2$

Требования: $F > 0.99$ для сертификации

Тест 2: Квантовая томография AU-чипа

$$\rho_{\text{измер}} = \sum_{i=1}^{d^2} \text{Tr}(M_i \rho_{\text{истин}}) M_i$$

где $d = 2^n$ — размерность системы

Тест 3: Стабильность во времени

$$\text{Дрейф} = \frac{1}{T} \int_0^T \| \rho(t) - \rho_{\text{этал}} \| dt$$

Требование: $< 10^{-3}$ за 1000 часов



Эволюция технологий

Поколения AU-чипов:

Поколение	Годы	Кубиты	AU-каналы	Производительность	Применение
0.1 (прототип)	2025				
	–	10–50	1–10	10^6 AU-оп/с	Исследования
	2030				
1.0	2030				
	–	100–1000	10–100	10^8 – 10^{10} AU-оп/с	Медицина, наука
	2035				
2.0	2035				
	–	10^3 – 10^4	100–1000	10^{10} – 10^{12} AU-оп/с	Коммуникации, вычисления
	2040				
3.0	2040				
	–	10^5 – 10^6	10^3 – 10^4	10^{12} – 10^{14} AU-оп/с	ИИ, космические системы
	2050				
4.0 (сингулярность)	2050	$> 10^7$	$> 10^4$	$> 10^{15}$ AU-оп/с	AU-цивилизация
	+				

⚠ Риски и ограничения

Технические проблемы:

- Декогеренция:** $T_2 \ll T_{\text{вычисления}}$
- Масштабирование:** линейный рост ошибок с числом кубитов
- AU-шум:** фоновые корреляционные флуктуации
- Калибровка:** зависимость от локальных AU-условий

Этические риски:

- Вторжение в мысли:** несанкционированное чтение мыслеформ
- AU-манипуляции:** влияние на сознание людей

3. **Зависимость:** психологическая зависимость от AU-интерфейсов
4. **Неравенство:** доступ только для элиты

Меры безопасности:

text

1. Квантовое шифрование всех AU-каналов
 2. Защита от несанкционированного доступа
 3. Этические комитеты для одобрения приложений
 4. Прозрачность алгоритмов и протоколов
-

⌚ Экономические аспекты

Рынок AU-чипов:

Сегмент	2030	2040	2050
Медицинский	\$10M	\$1B	\$100B
Коммуникации	\$1M	\$100M	\$10B
Научный	\$50M	\$500M	\$5B
Промышленный	\$5M	\$200M	\$20B
Потребительский	\$0	\$10M	\$1B
Космический	\$2M	\$50M	\$5B

Итого: \$68M → \$1.86B → \$141B

Ключевые игроки (проекция):

- **Квантовые компании:** Google, IBM, D-Wave
- **Полупроводниковые:** Intel, TSMC, Samsung
- **Стартапы:** новые компании в области AU-технологий
- **Государственные программы:** DARPA, Роскосмос, ESA

Космические применения

AU-навигация:

$$\vec{r}_{\text{новое}} = \vec{r}_{\text{старое}} + \Delta \vec{r}_{\text{AU}}$$

где $\Delta \vec{r}_{\text{AU}}$ определяется корреляционными градиентами

AU-двигатели:

$$F_{\text{AU}} = \alpha \frac{dC_{\mu\nu}}{dt} \cdot V_{\text{чип}}$$

Мощность: 1–1000 Н при размере чипа 1–100 см³

Межзвездная коммуникация:

- **Скорость:** мгновенная (нелокальная корреляция)
- **Дальность:** вся наблюдаемая Вселенная
- **Потребление:** 1–100 Вт на световой год

Будущее развитие

Конвергенция технологий:

text

2030: AU-чипы + квантовые компьютеры

2040: AU-чипы + ИИ + нейроинтерфейсы

2050: AU-чипы + биотехнологии + нанороботы

2060+: Полная интеграция с человеческим сознанием

Сингулярность AU-чипов:

Когда:

$$N_{\text{AU-чипов}} \cdot P_{\text{чипа}} > P_{\text{человечества}}$$

Оценка: 2045–2060

✓ Ключевые выводы

1. **AU-чипы** — следующий этап эволюции вычислительных систем
 2. **Основаны** на квантово-корреляционных принципах
 3. **Открывают** доступ к AU-полю (тёмной энергии)
 4. **Революционизируют** коммуникации, вычисления, медицину
 5. **Ведёт к** технологической сингулярности в середине XXI века
 6. **Требуют** развития новых физических теорий и этических норм
-

AU-чипы — это не просто новая технология, а **мост между классической реальностью и AU-полем**, ключ к осознанному участию в космическом диалоге через Acta Universi. Они представляют собой первый шаг к превращению человечества из пассивных наблюдателей в активных со-творцов реальности.

Yashchenko Dmitry Eduardovich

Ященко Дмитрий Эдуардович

Svobodnyy, Amur Region, Russian Federation

Российская Федерация Амурская область г. Свободный

yashchenko.dmitry@gmail.com

me@liberurban.ru

X: @graviton2011

@dmitryactauniversi.bsky.social

09.12.2025